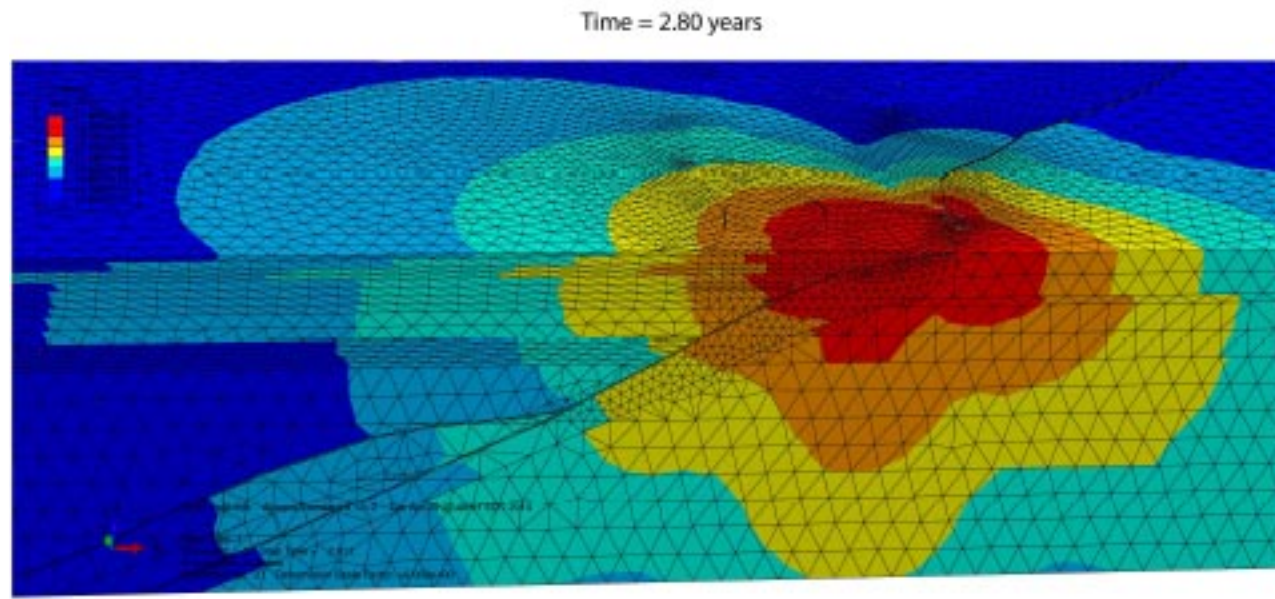
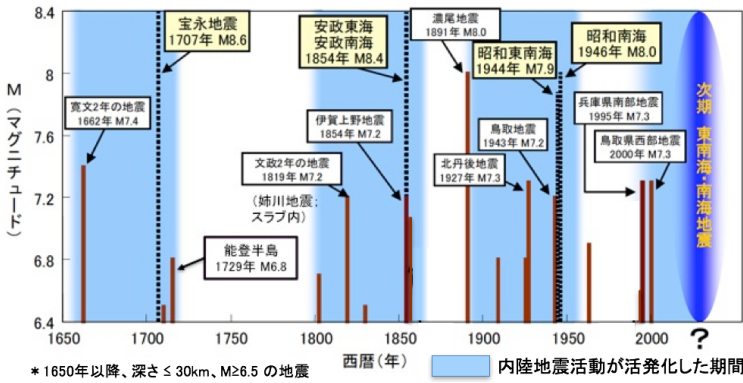


2-6 海溝型地震と内陸沿岸地震の 関連メカニズムの評価準備

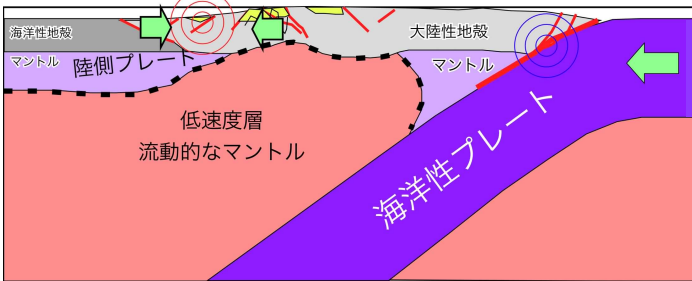


東京大学地震研究所

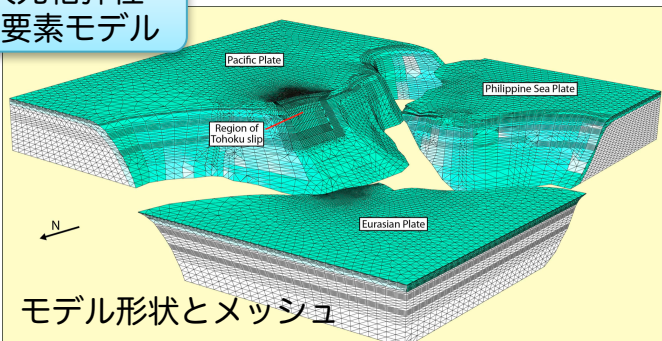
2-6 海溝型地震と内陸沿岸地震の関連メカニズムの評価準備



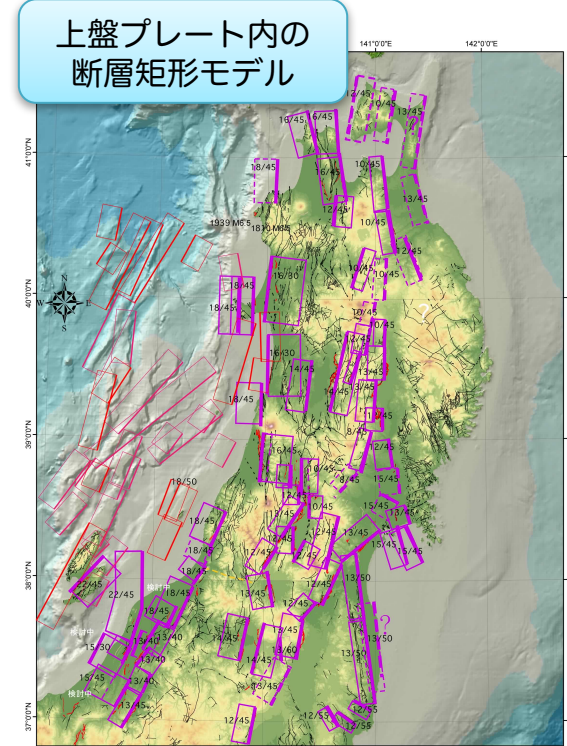
内陸被害地震の発生は、プレート境界地震と密接な関係



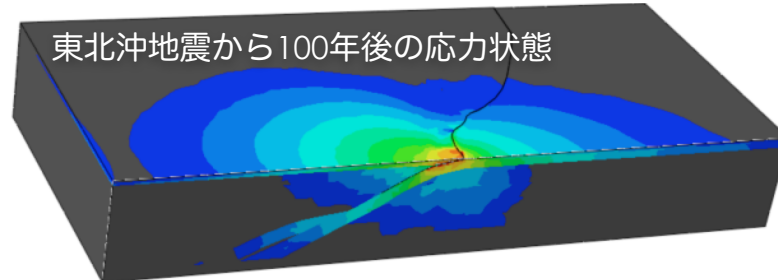
三次元粘弾性有限要素モデル



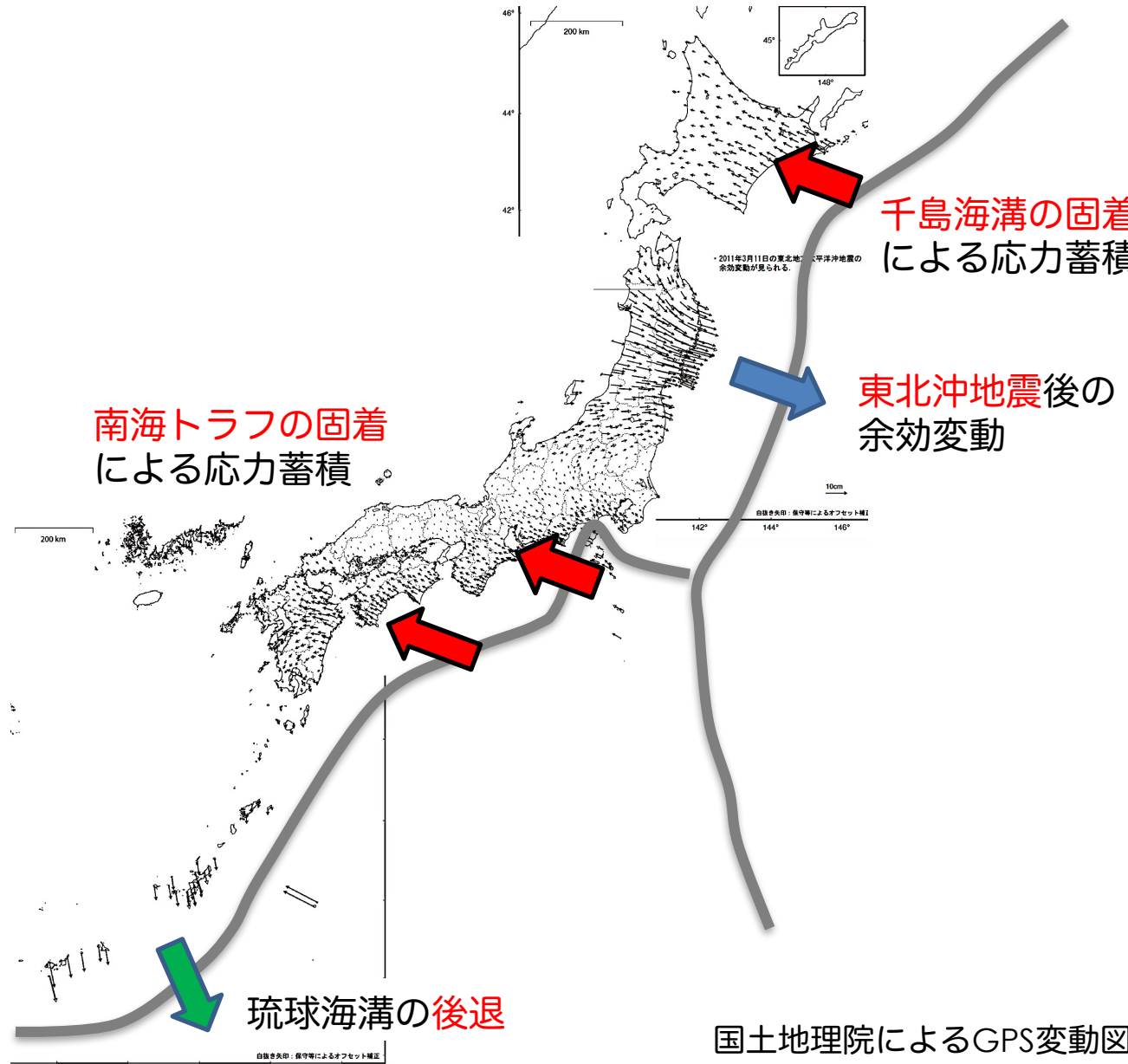
粘弾性有限要素法により断層面上に作用する応力を求める



東北沖地震から100年後の応力状態



日本列島域の様々なプレート境界プロセス



H29年度の目的

- 平成28年度までに作成した粘弾性モデルに基づいて、**南海トラフ等のプレート境界プロセス**による日本海南部および西南日本沿岸に分布する震源断層面上のクーロン応力変化を検討する。

GPS 観測による西南日本の速度場

GPS 観測データを拘束条件として、震源断層上の応力を計算するための現実的なモデルを求める

琉球列島の変動

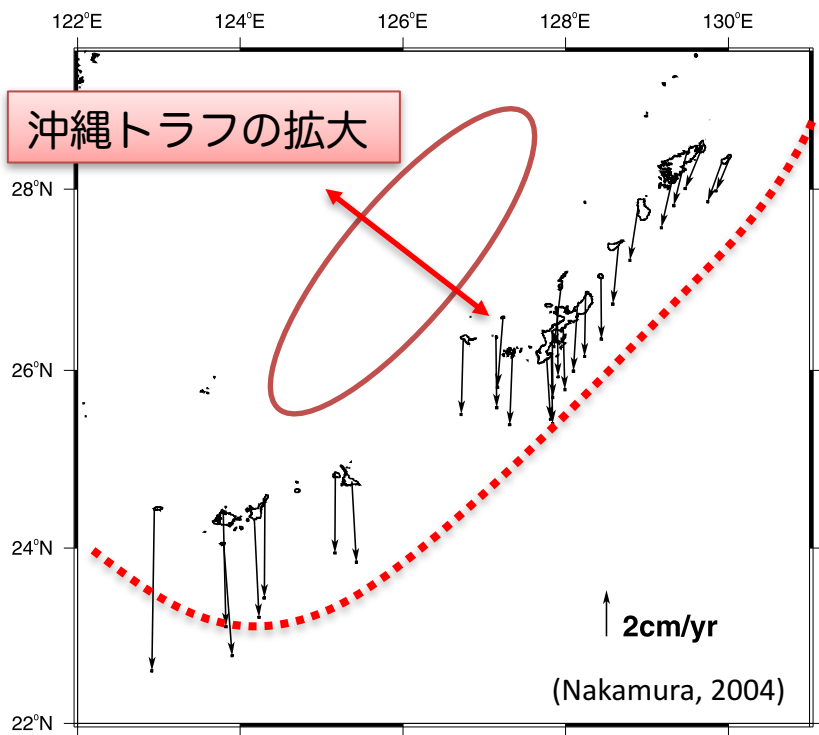
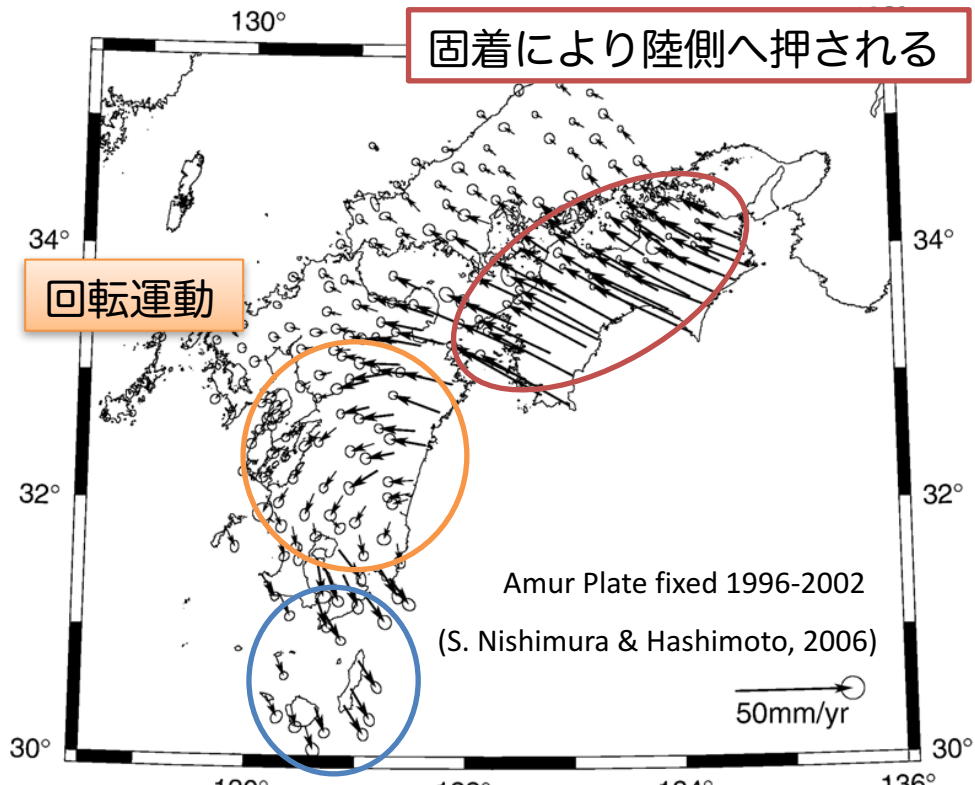


Fig. 5. Horizontal displacement rate vectors of GPS sites.
All vectors are relative to Eurasian plate (Shanghai VLBI).

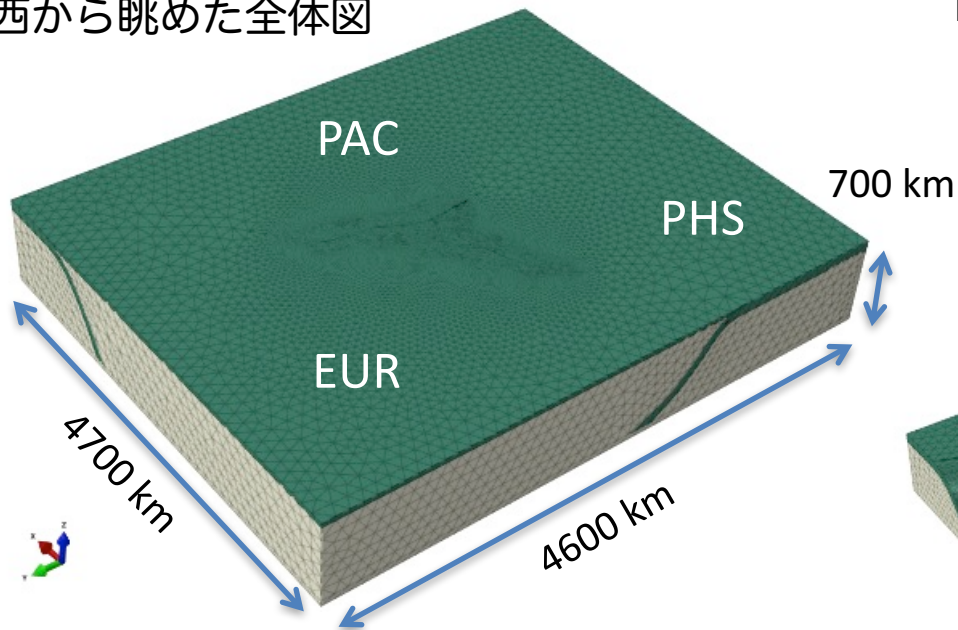
九州～四国の変動



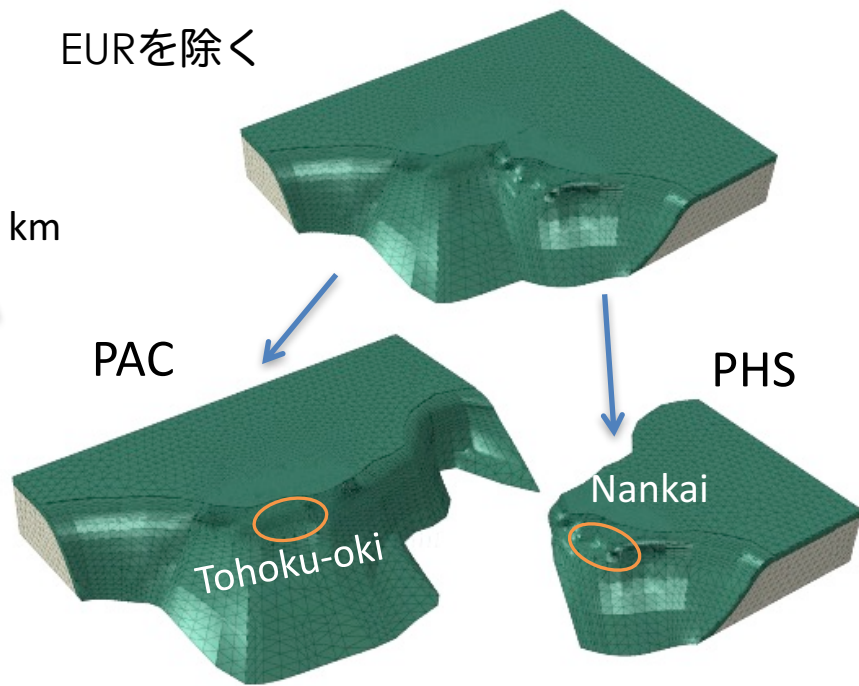
日本列島域の三次元有限要素モデル

Hashima et al. (2016), Freed et al. (2017)

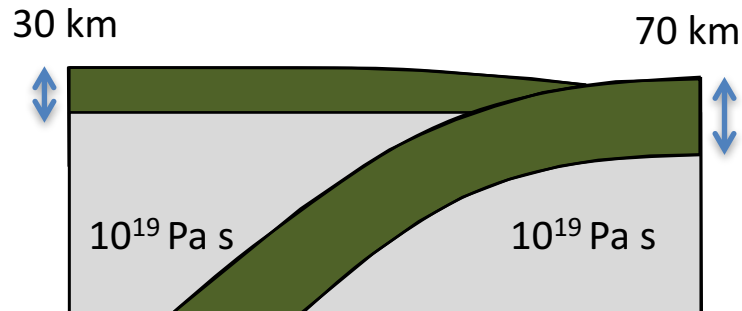
北西から眺めた全体図



EURを除く

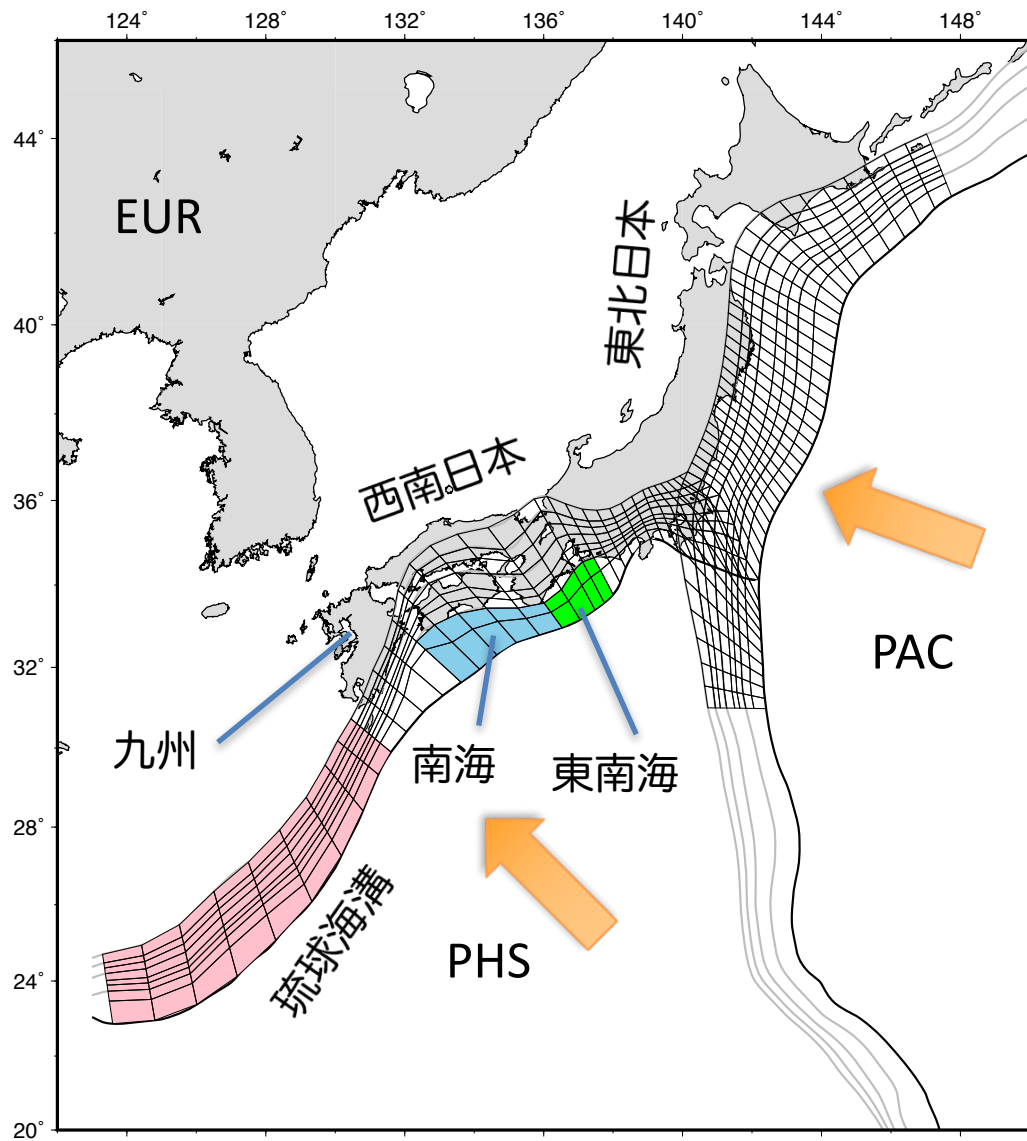


内部構造



- ・プレート境界形状はNakajima & Hasegawa (2006), Hayes et al. (2012)に基づく
- ・約160万個の正四面体要素、メッシュサイズ5~100 km
- ・弾性リソスフェア（緑）と粘弹性アセノスフェア（白）

南海トラフの固着モデル



プレート境界の固着はすべり速度欠損を与えることによりモデル化
(Savage, 1983; Matsu'ura & Sato, 1989)

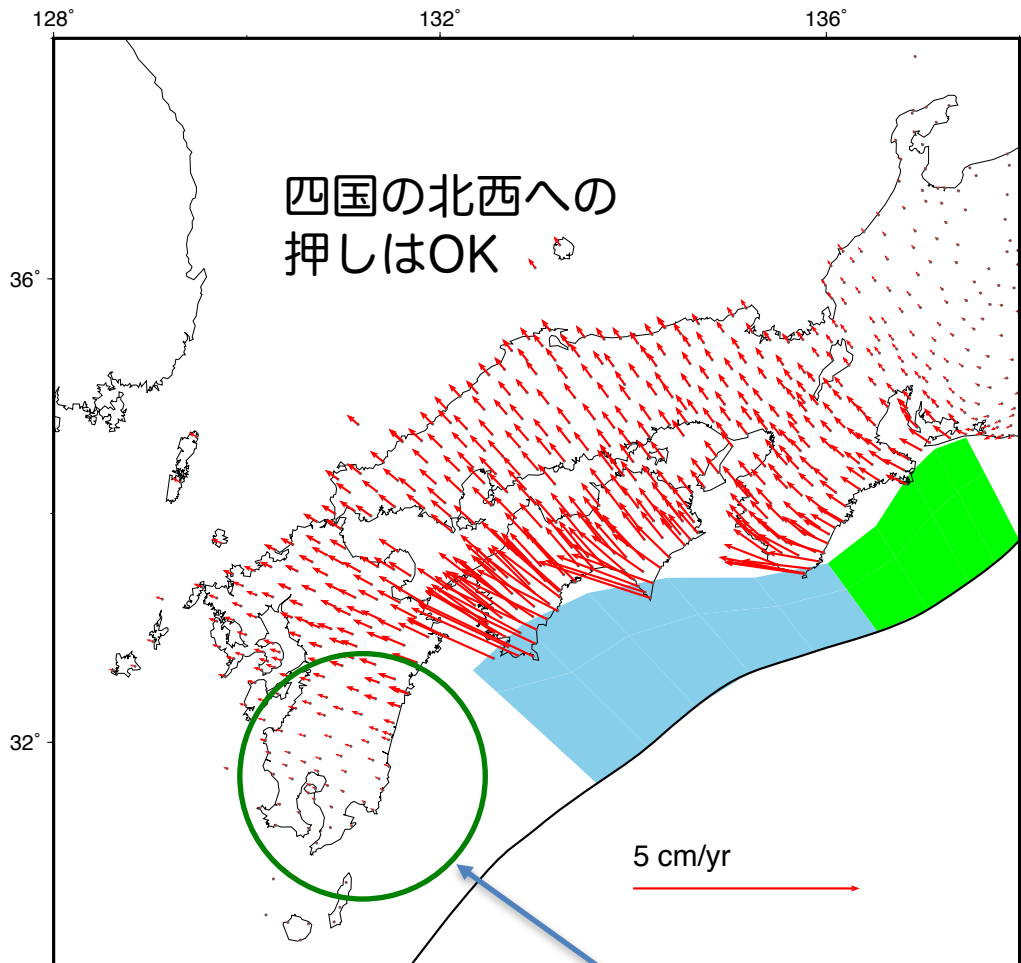
すべり速度欠損分布

- ・東南海（緑）：3 cm/yr
- ・南海（水色）：6 cm/yr

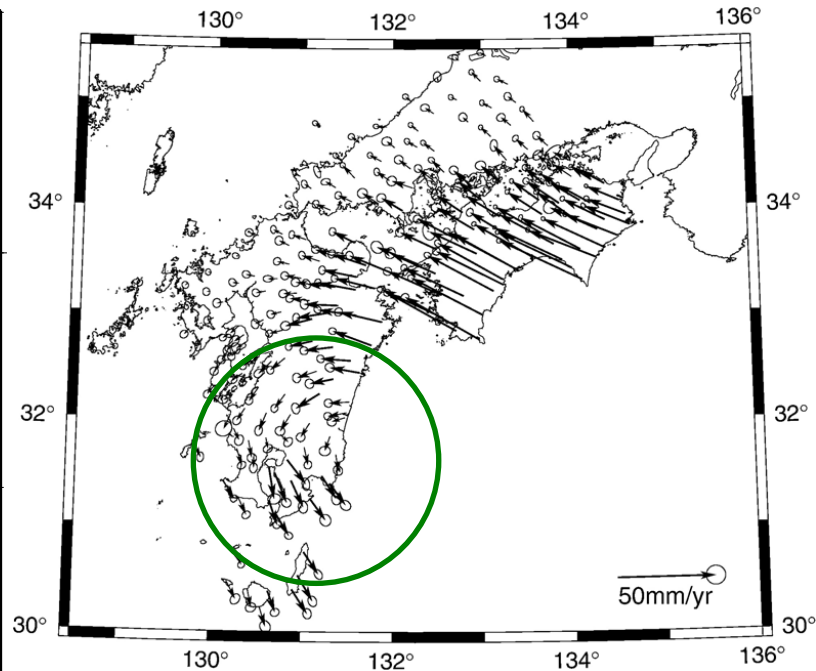
(Hok et al., 2011; Yokota et al., 2016)

南海トラフの固着による変位速度場

計算速度場

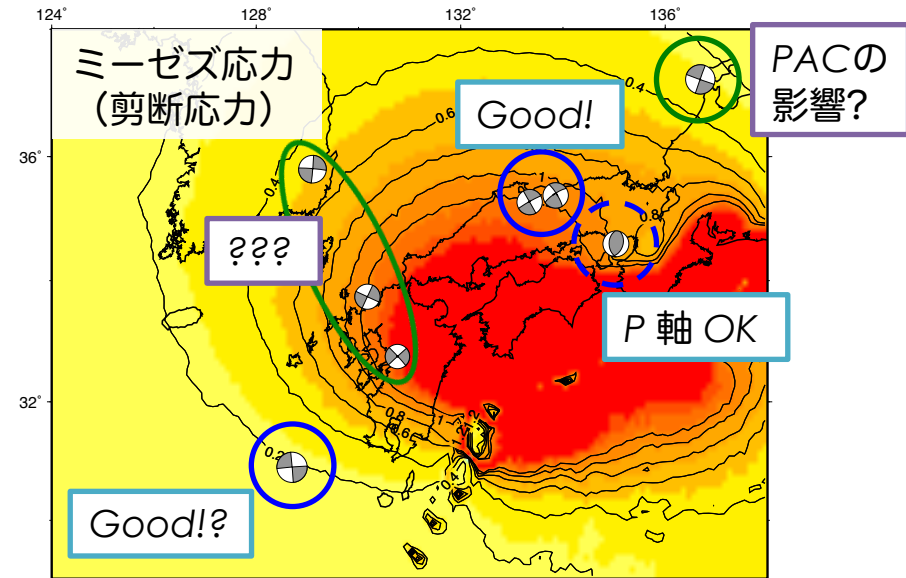
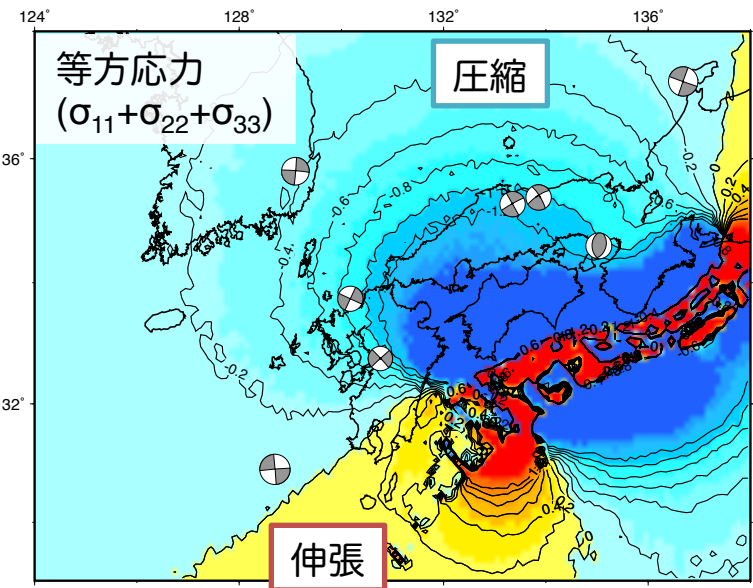


観測速度場

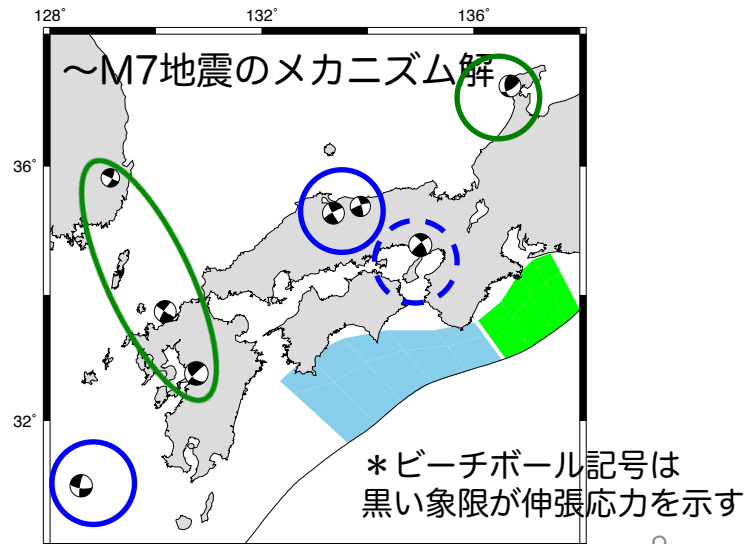


九州中南部の回転運動を
再現できていない

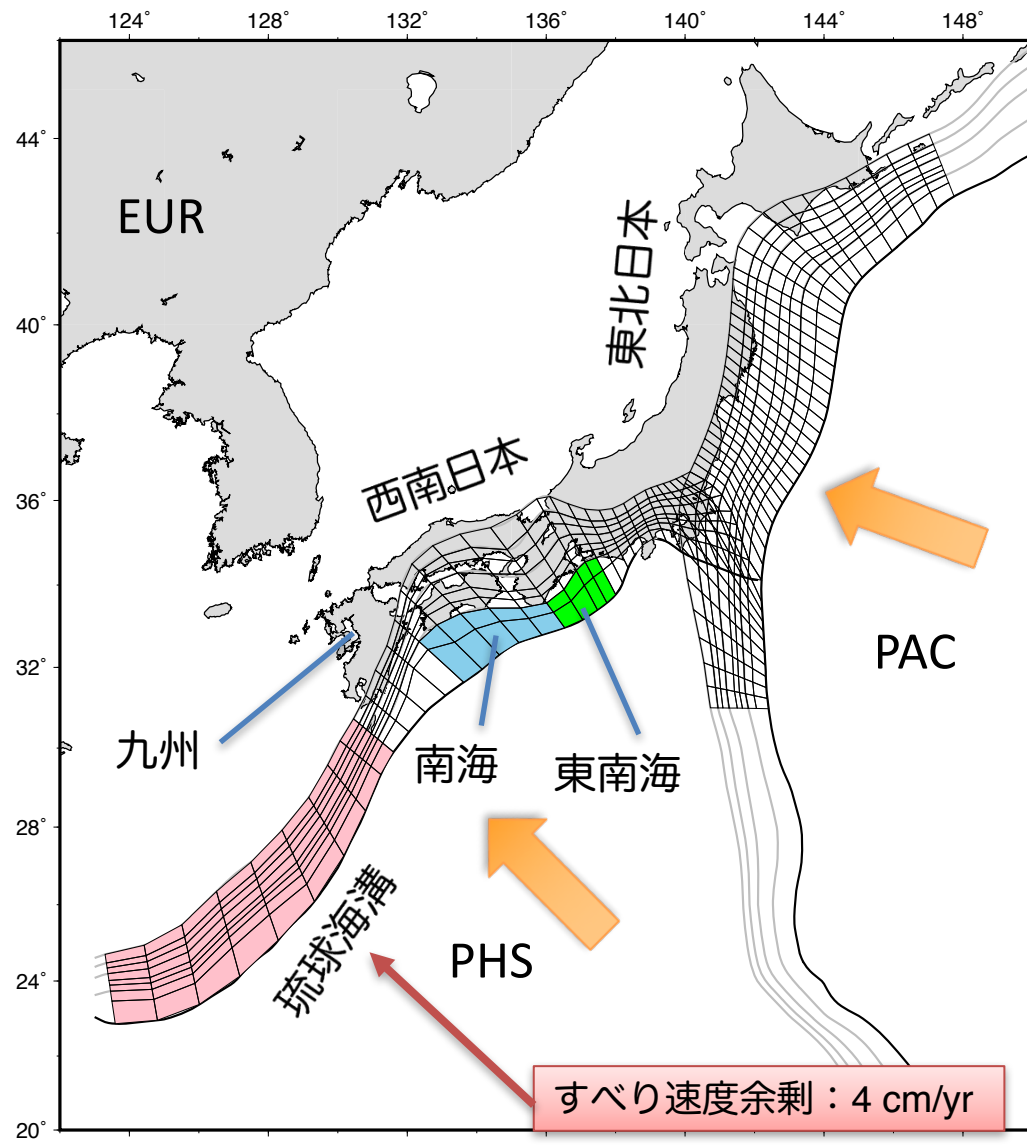
南海トラフの固着による応力場



九州中南部の応力は
南海トラフの固着で
は説明できない

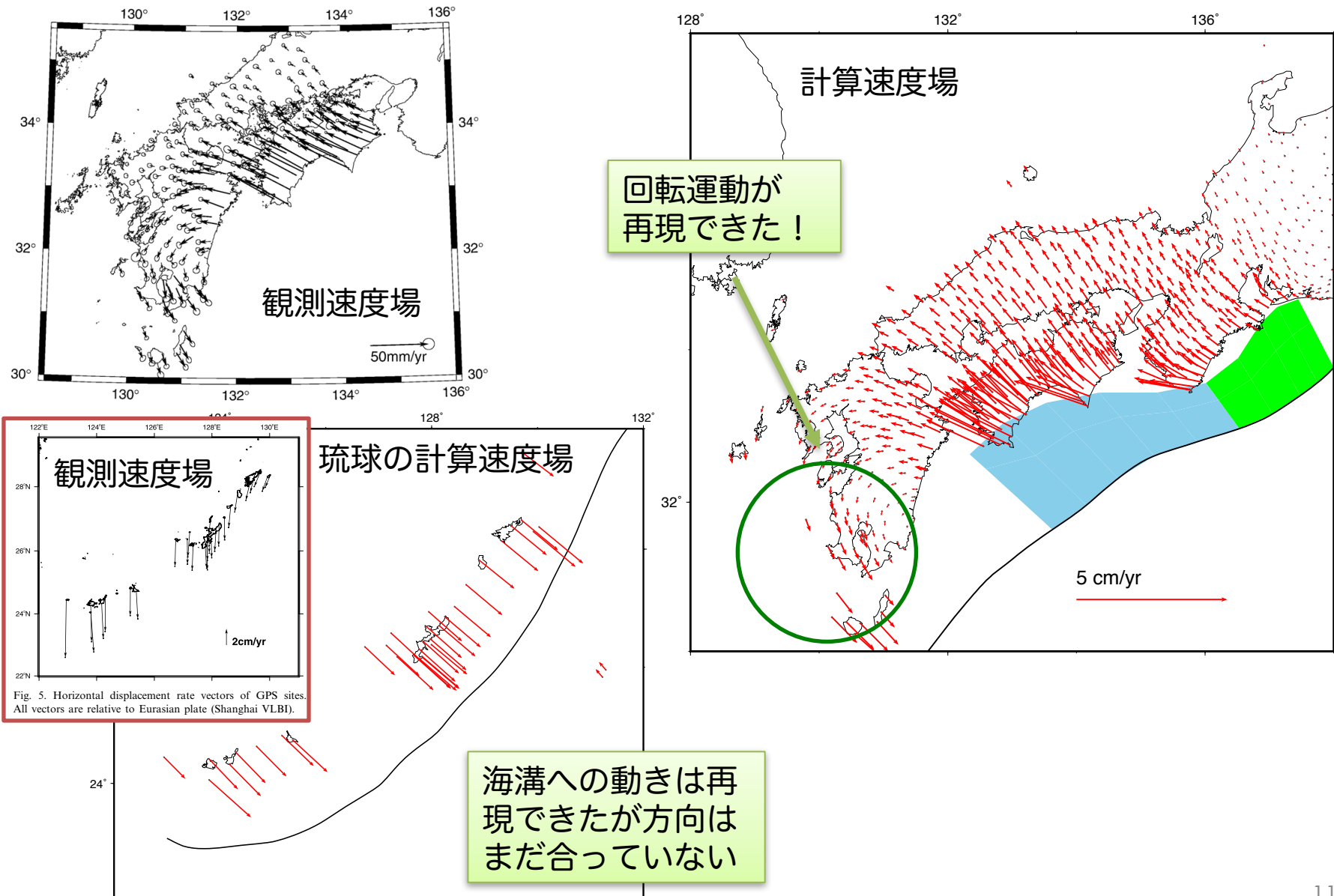


琉球海溝の後退

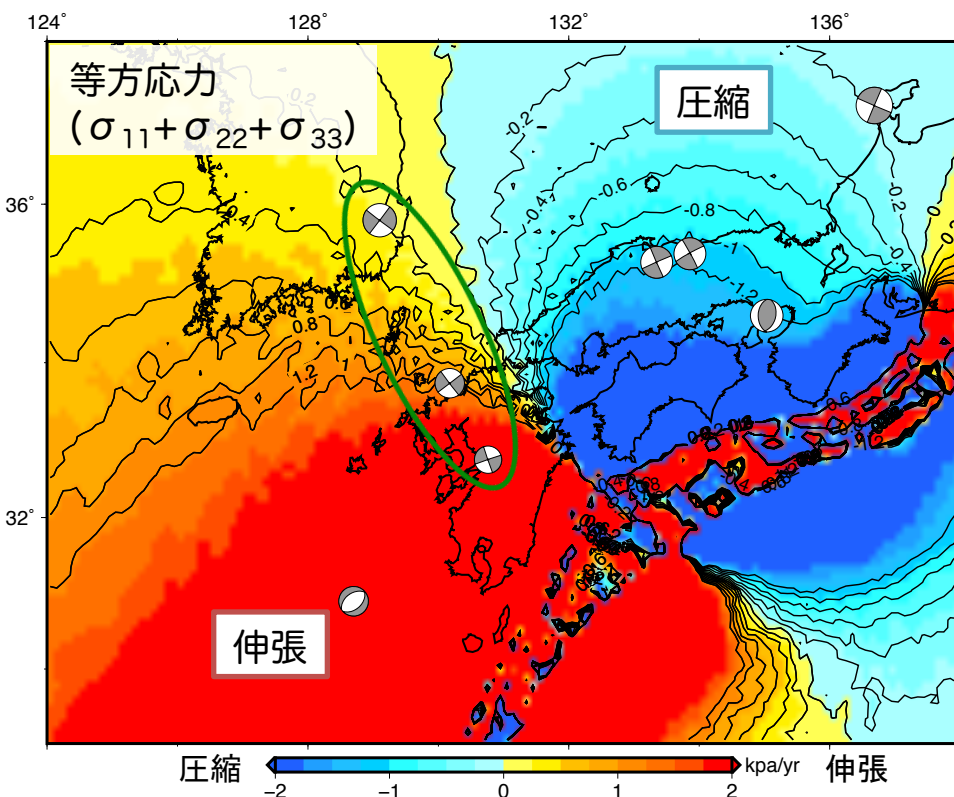


海溝後退はすべり速度余剰を
与えることによりモデル化できる
(Hashima et al., 2008)

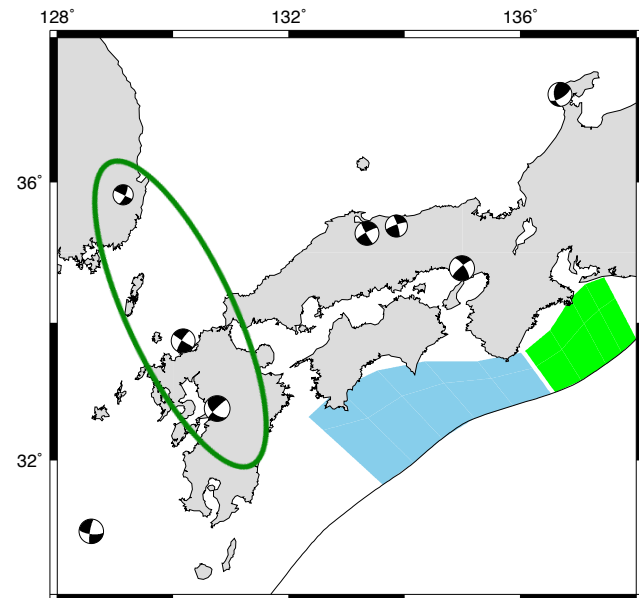
琉球海溝後退の効果を加えた速度場



応力場への効果



九州が伸張領域となったが、メカニズム解を説明できるほどの精度ではない



まとめと今後の課題

- 平成28年度に作成した粘弾性有限要素モデルにおいて、南海トラフに固着（すべり速度欠損）、琉球海溝後退（すべり速度余剰）を与え変位速度・応力場の定性的なパターンを計算した。
 - 南海トラフの固着は中国四国地方の変位速度場および応力場を説明できる
 - 九州地方の応力場を説明するためには琉球海溝後退を考慮する必要がある
- 今後の課題
 - より現実的なすべり分布を与えて変位速度場をGPSデータに定量的に合わせる。最適なすべりモデルを求め、応力場を計算する